

II-57 土石流における転波列の運動特性

鹿児島工業高等専門学校 正員 足田誠
 九州大学工学部 正員 薩田知夫
 九州大学大学院 ○学生員 稲地博文
 九州大学工学部 学生員 松枝修治

1. 研究概要 急斜面の導層流においては転波列が発生する場合があり、岩垣ら¹⁾によて理論的研究がなされている。一方、桜島の流路工においても土石流に顕著な転波列の発生がみられ、流路工の越波や転波の衝撃にともなう流路工破壊が問題となっている。高橋ら²⁾は土石流の転波列が水流のものに近いという研究成果を報告している。本報告では、桜島長治川の流路工土石流に付られる転波列資料³⁾をもとにし、室内における土石流の転波列実験を行い、その運動特性を明らかにしようとするものである。

2. 実験結果 Fig-1は、幅10cm、長さ12mの可変水路における転波列の波形を示したもので、水路床は、ベニヤ板を敷した滑面と、ほぼ均一平均粒径 $d = 4.4\text{ mm}$ の玉石を区間7mに敷いた粗面の2通りを用い、水のみの場合と同じ玉石を用いた土石流(流下可能な最大粒径12)の場合を比較した。これより、粗度が小さくなるにつれ、土石流の転波形状は水流のものに近くなることが分る。さらに

岸の水深 h_0 と第流水深 h の比を Froude 数 $Fr = V_0 / \sqrt{gh_0} \cos \theta$ (V_0 : 平均流速, g : 第流水深, θ : 水路勾配) でプロットすると、Fig-2 のようになる。これから、岩垣らの理論曲線とは異なって、Fr 数と無関係にあらずとも比例関係にはい線に向かることがわかる。すなはち、転波列の波速 C 、周期 T 、波長 $\lambda = C \cdot T$ の値を示せば、Fig-3, 4, 5 のようになる。(図中説明のない記号は Fig-10 参照。)

3. 転波列の諸速度分布 Fig-6は、土石流の導流状態での流速分布を示したもので、粗面(a)と滑面(b)、滑面(c)では水路床に明確な slip velocity u_s が存在している。すなはち、滑面における転波列の岸と谷の流速分布(c)も(b)と同様の傾向にあることが分かる。

いま、土石流を dilatant 流体とすれば、定常状態における流れ方向の力の釣り合の式を立てると、

$$Kd^2(\frac{du}{dy})^2 = g(h-y)\sin\theta \quad \dots \dots \dots (1)$$

ここに、 K : 土砂濃度の係数、 d : 粒径、 u : 水路床より垂直方向上における流速、 g : 重力加速度、 h : 水深、 θ : 水路床勾配

である。したがって、 $y = \frac{h}{2}$, $\zeta = 1 - \eta$, $u_s = \sqrt{gh}\sin\theta$: 摩擦速度

となる。境界条件 $\zeta = 1$ 时 $u = u_s$: 表面流速のもとに式(1)を解分すると、

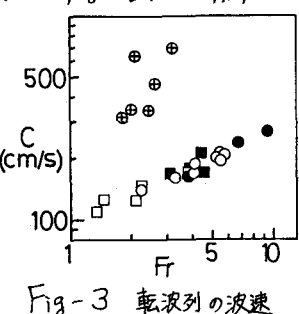


Fig-3 転波列の波速

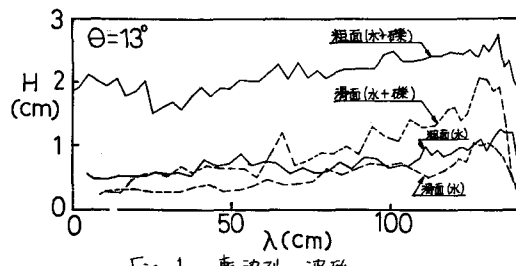


Fig-1 転波列の波形

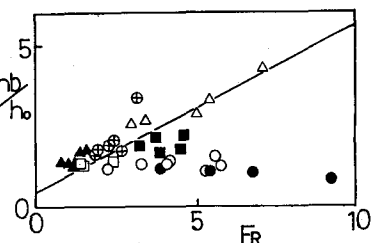


Fig-2 転波列の岸の水深

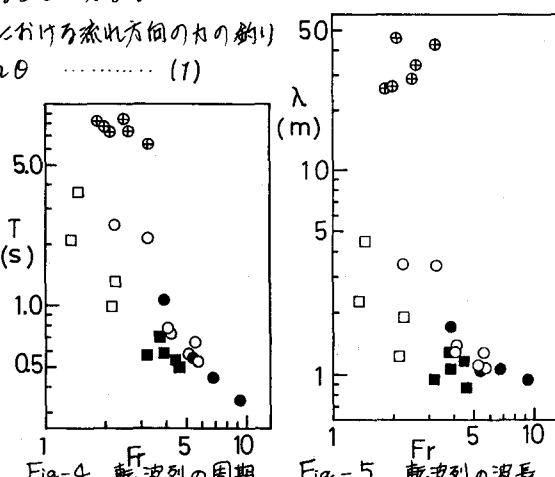


Fig-4 転波列の周期

Fig-5 転波列の波長

$$\frac{U_b - U}{U_s} = \frac{h}{Kd} \cdot \frac{2}{3} \zeta^{\frac{3}{2}} \quad \dots \dots \quad (2)$$

$$\text{平均流速 } U_m = \int u dy / h$$

$$U_m = \frac{U_s h}{Kd} \cdot \frac{4}{15} + U_s \quad \dots \dots \quad (3)$$

$$\text{式(2), (3)より}, \frac{U_b - U}{U_s - U_m} = \frac{5}{2} \zeta^{\frac{3}{2}} \quad \dots \dots \quad (4)$$

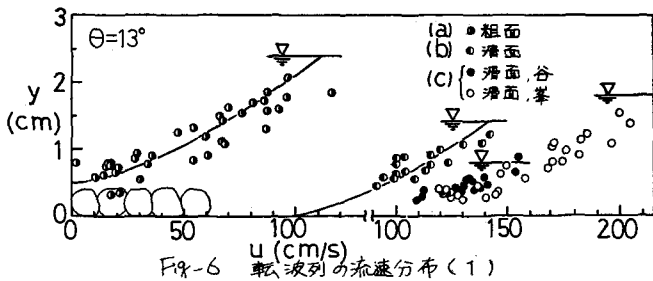


Fig-6 転波列の流速分布(1)

Fig-6の実験結果に対して、この左边を計算してアロットすると、Fig-7とはり、ほぼ、式(4)を満足し、dilatant流体と見ていいことがわかる。さらに水路床 $y = 0$ で $U = U_b$ とおくと、運動量補正係数 $\alpha = \int U^2 dy / U_m^2$ は、

$$\alpha = 1 + 0.25 (1 - \frac{U_b}{U_m})^2 \quad \dots \dots \quad (5)$$

となる。 $U_b = 0$ では、通常の土石流の

dilatant流体の値は $= 1.25$ の値となる。一方、 U_b が U_m に近づくと、

Fig-8に示すように、 α は 1 に近づき絶水の場合の値に近くなることが理解できる。さらに流速係数 $\psi = U_m / U_s$ は、

$$\psi = (2/5K)(R_0/d) \quad \dots \dots \quad (6)$$

となる。即ち、Fig-9における室内実験の値では $\psi = \text{一定}$ である増大とともに、 ψ は減少している。一方、船島の放流水では、均一粒径ではなく火山灰や巨礫が混在して流下し、 ψ の関係となり。従って、 $\psi = \text{一定}$ とはしてよいことが考えられる。

4. 転波列の発生限界

流速 C' を最大時の単位幅流量 Q で無次元化すると、

$$C' = C / (g_s \cos \theta)^{\frac{1}{2}} \quad \dots \dots \quad (7)$$

一方、岩垣によれば、

$$C' = \frac{\alpha - (1/F_r^2)}{\alpha - \sqrt{\alpha(\alpha-1) + (1/F_r^2)}} \cdot F_r^{\frac{3}{2}} \quad \dots \dots \quad (8)$$

となる。Fig-10は式(7)による実測値と、式(8)による計算曲線が示す $\psi = \text{一定}$ の場合の転波列の発生限界式 $C' \leq \frac{3}{2} F_r^{\frac{3}{2}}$ (9) を示している。これから、岩垣らの水流の実験値では、式(9)の条件は満足するが、土石流では式(6)に示すように ψ は K 即ち土砂濃度と F_r の関数となり、必ずしも適合してからず、今後の検討課題となっている。

謝辞 本研究をすすめられたのは九州大学工学部水工土木学科教室 横東一郎教授より御深謝を頂き、同教室の应用水理学研究室各位には色々とお世話をねた。ここに厚く謝辞を表す次第である。

参考文献 1) 岩垣・岩佐: 土木学会誌 40-1, P.P. 5-12, (1955), 2) 高橋・長谷川: 第35回土木学会年譲, pp. 354-355, (1980), 3) 田中・植・平野・里島: 鹿児島高島研究報告 18, (1984) 採載予定

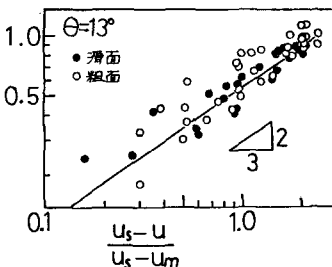


Fig-7 転波列の流速分布(2)

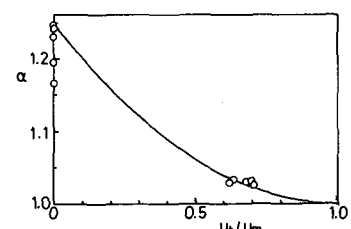


Fig-8 転波列の運動量補正係数

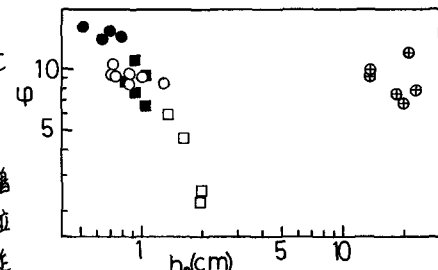


Fig-9 転波列の流速係数

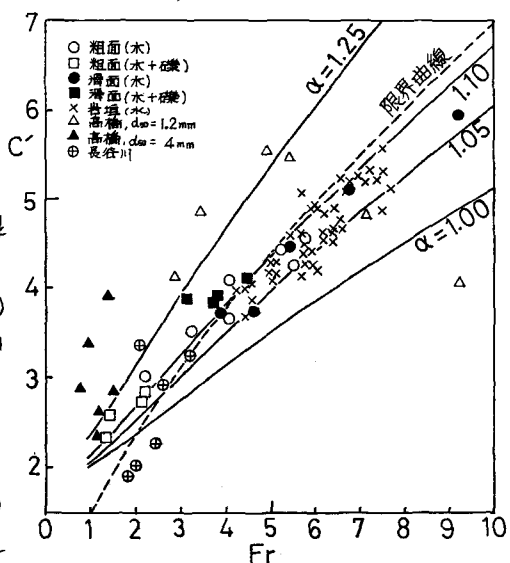


Fig-10 転波列の発生限界